



普通高等教育土建学科专业“十五”规划教材

高校土木工程
专业指导委员会规划推荐教材

工程结构抗震设计

东南大学 李爱群 高振世 主编



中国建筑工业出版社
CHINA ARCHITECTURE & BUILDING PRESS

普通高等教育土建学科专业“十五”规划教材
高校土木工程专业指导委员会规划推荐教材

工程结构抗震设计

东南大学 李爱群 高振世 主编

中国建筑工业出版社

图书在版编目 (CIP) 数据

工程结构抗震设计/李爱群, 高振世主编. —北京: 中国建筑
工业出版社, 2004

普通高等教育土建学科专业“十五”规划教材

高校土木工程专业指导委员会规划推荐教材

ISBN 7-112-07009-0

I. 工… II. ①李… ②高… III. 建筑结构—抗震设计
—高等学校—教材 IV. TU352.104

中国版本图书馆 CIP 数据核字 (2004) 第 119322 号

普通高等教育土建学科专业“十五”规划教材

高校土木工程专业指导委员会规划推荐教材

工程结构抗震设计

东南大学 李爱群 高振世 主编

中国建筑工业出版社出版 (北京西郊百万庄)

新华书店总店科技发行所发行

北京云浩印刷有限责任公司印刷

*

开本: 787×960 毫米 1/16 印张: 21 1/4 字数: 510 千字

2005 年 1 月第一版 2005 年 1 月第一次印刷

印数: 1—5000 册 定价: 29.00 元

ISBN 7-112-07009-0

TU·6245 (12963)

版权所有 翻印必究

如有印装质量问题, 可寄本社退换

(邮政编码 100037)

本社网址: <http://www.china-abp.com.cn>

网上书店: <http://www.china-building.com.cn>

本书根据土木工程本科专业教学要求，并结合《建筑抗震设计规范》（GB 50011—2001）等国家新规范进行编写。

本书主要内容包括：结构抗震基本知识，结构抗震概念设计，建筑场地、地基和基础，结构抗震计算，混凝土结构房屋抗震设计，砌体结构和底部框架、内框架房屋抗震设计，钢结构房屋抗震设计，桥梁结构抗震设计，建筑结构基础隔震设计，建筑结构消能减震设计等。

本书可用作土木工程专业本科教材或教学参考书，也可供研究生和有关技术人员参考使用。

* * *

责任编辑：朱首明 吉万旺

责任设计：崔兰萍

责任校对：李志瑛 王 莉

前　　言

本书是在我校编著的高等学校推荐教材《建筑结构抗震设计》（1999年版，中国建筑工业出版社）基础上，为适应土木工程本科专业的教学要求而组织编写的。本书的编写突出了以下特点：第一，由通常的“建筑结构抗震设计”拓展至“工程结构抗震设计”，新增了钢结构房屋抗震设计、桥梁结构抗震设计、建筑结构基础隔震设计、建筑结构消能减震设计等内容，较大幅度地拓宽了知识的广度和深度，以更好地满足土木工程本科专业的教学需要；第二，按照《建筑抗震设计规范》（GB 50011—2001）等国家新规范进行编写；第三，注重基本概念、基本理论和基本方法，注重内容的系统性和先进性，注重理论和工程实践的结合，注重学生启发性和创造性思维的培养与训练。

本书在编写过程中，学习和参考了大量兄弟院校和科研院所出版的教材和论著，在此谨向原编著者致以诚挚的谢意。

本书由李爱群、高振世教授主编，李爱群教授、高振世教授、梁书亭教授、王修信教授、叶继红教授、刘钊教授等共同编著。具体分工如下：

第1章、第2章、第5章、第9章、第10章由李爱群编写，第3章、第6章由高振世编写，第4章（除§4.6）由梁书亭编写，第4章§4.6由王修信编写，第7章由叶继红编写，第8章由刘钊编写。全书由李爱群、高振世负责统稿。

编写过程中，博士生叶正强、毛利军、丁幼亮等协助做了大量工作，在此深表谢意。

限于时间和水平，书中的疏漏和不妥之处，敬请读者批评指正。

编者于东南大学土木工程学院
2004年5月

目 录

第1章 结构抗震基本知识	1
§ 1.1 地震基本知识	1
§ 1.2 地震的基本术语	4
§ 1.3 地震动特性	7
§ 1.4 工程结构的抗震设防	8
思考题	13
第2章 建筑结构抗震概念设计	14
§ 2.1 选择抗震有利的建筑场地、地段和地基	14
§ 2.2 设计有利的房屋抗震体形，进行合理的结构布置	16
§ 2.3 选择合理的结构材料	19
§ 2.4 提高结构抗震性能的措施	20
§ 2.5 加强结构的整体性，控制结构变形	23
§ 2.6 减轻房屋自重和妥善处理非结构部件	24
思考题	25
第3章 建筑场地、地基和基础	26
§ 3.1 建筑场地的选择	26
§ 3.2 建筑场地类别的划分	28
§ 3.3 天然地基基础的抗震验算	34
§ 3.4 场地土的液化与抗液化措施	36
§ 3.5 桩 基	45
思考题与习题	47
第4章 结构抗震计算	48
§ 4.1 计算原则	48
§ 4.2 地震作用	52
§ 4.3 设计反应谱	61
§ 4.4 振型分解反应谱法	67
§ 4.5 底部剪力法	88
§ 4.6 时程分析法	92
§ 4.7 结构竖向地震作用	114
§ 4.8 结构抗震验算	117

6 目 录

思考题与习题	122
第5章 混凝土结构房屋抗震设计	125
§ 5.1 震害及其分析	125
§ 5.2 抗震设计的一般要求	128
§ 5.3 框架内力和位移计算	133
§ 5.4 框架柱抗震设计	140
§ 5.5 框架梁的抗震设计	150
§ 5.6 框架节点抗震设计	160
§ 5.7 框架-抗震墙结构的抗震计算与构造	163
§ 5.8 抗震墙结构的抗震设计	166
思考题与习题	178
 第6章 砌体结构和底部框架、内框架房屋的抗震设计	181
§ 6.1 砌体结构和底部框架、内框架房屋的震害特点	181
§ 6.2 砌体结构房屋抗震设计一般规定	182
§ 6.3 多层砌体房屋的抗震验算	184
§ 6.4 砌体结构房屋的抗震构造措施	195
§ 6.5 底部框架-抗震墙、内框架房屋抗震设计的一般规定	202
§ 6.6 底部框架-抗震墙、内框架房屋的抗震计算	205
§ 6.7 底部框架-抗震墙、内框架房屋的抗震构造措施	209
思考题	212
第7章 钢结构房屋抗震设计	213
§ 7.1 钢结构房屋的震害	213
§ 7.2 高层钢结构房屋抗震设计	214
§ 7.3 钢构件与连结的性能及其抗震设计	222
§ 7.4 网架结构抗震设计	239
思考题	251
第8章 桥梁结构抗震设计	252
§ 8.1 桥梁震害及其分析	252
§ 8.2 桥梁按反应谱理论的计算方法	255
§ 8.3 桥梁结构地震响应分析	267
§ 8.4 桥梁抗震延性设计	274
§ 8.5 桥梁抗震设计示例	284
思考题	294
第9章 建筑结构基础隔震设计	296
§ 9.1 隔震概论	296

§ 9.2 橡胶垫隔震装置	298
§ 9.3 基础隔震结构设计	308
思考题	317
第 10 章 建筑结构消能减震设计	318
§ 10.1 结构消能减震概述	318
§ 10.2 结构消能减震设计	323
思考题	329
参考文献	330

第1章 结构抗震基本知识

学习目的：了解地震的主要类型及其成因；了解地震波的运动规律；掌握震级、地震烈度、基本烈度等术语；了解地震动的三大特性及其规律；了解地震动的竖向分量、扭转分量及其震害现象；掌握建筑抗震设防分类、抗震设防目标和两阶段抗震设计方法；了解多遇地震烈度和罕遇地震烈度的确定方法；了解基于性能的抗震设计的基本思想。

教学要求：通过地震及其成因、地震波运动规律、地震动三大特性、“三水准两阶段”设计方法、若干的地震工程术语等的介绍和分析，建立结构抗震的基本概念，提高对工程结构抗震重要性的认识。

§ 1.1 地震基本知识

1.1.1 地球的构造

地球是一个平均半径约 6400km 的椭圆球体。由外到内可分为三层：最表面的一层是很薄的地壳，平均厚度约为 30km；中间很厚的一层是地幔，厚度约为 2900km；最里面的为地核，其半径约为 3500km。

地壳由各种岩层构成。除地面的沉积层外，陆地下面的地壳通常由上部的花岗岩层和下部的玄武岩层构成；海洋下面的地壳一般只有玄武岩层。地壳各处厚薄不一，约为 5~40km。世界上绝大部分地震都发生在这一薄薄的地壳内。

地幔主要由质地坚硬的橄榄岩组成。由于地球内部放射性物质不断释放热量，地球内部的温度也随深度的增加而升高。从地下 20km 到地下 700km，其温度由大约 600℃ 上升到 2000℃。在这一范围内的地幔中存在着一个厚约几百公里的软流层。由于温度分布不均匀，就发生了地幔内部物质的对流。另外，地球内部的压力也是不均衡的，在地幔上部约为 900MPa，地幔中间则达 370000MPa，地幔内部物质就是在这样的热状态下和不均衡压力作用下缓慢地运动着，这可能是地壳运动的根源。到目前为止，所观测到的最深的地震发生在地下 700km 左右处，可见地震仅发生在地球的地壳和地幔上部。

地核是地球的核心部分，可分为外核（厚 2100km）和内核，其主要构成物质是镍和铁。据推测，外核可能处于液态，而内核可能是固态。

1.1.2 地震的类型与成因

地震按其成因主要分为火山地震、陷落地震和构造地震。

由于火山爆发而引起的地震叫火山地震；由于地表或地下岩层突然大规模陷落和崩塌而造成的地震叫陷落地震；由于地壳运动，推挤地壳岩层使其薄弱部位发生断裂错动而引起的地震叫构造地震。火山地震和陷落地震的影响范围和破坏程度相对较小，而构造地震的分布范围广、破坏作用大，因而对构造地震应予以重点考虑。

构造地震的成因是，地球内部不断运动的过程中，始终存在着巨大的能量，造成地壳岩层不停地连续变动，不断地发生变形，产生地应力，当地应力产生的应变超过某处岩层的极限应变时，岩层就会发生突然断裂和错动，从而引起震动。震动以波的形式传到地面，便形成地震（图 1-1）。构造地震与地质构造密切相关，这种地震往往发生在地应力比较集中、构造比较脆弱的地段，即原有断层的端点或转折处、不同断层的交会处。

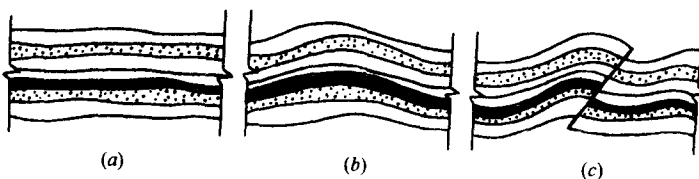


图 1-1 构造地震的形成

(a) 岩层原始状态；(b) 受力后发生褶皱变形；(c) 岩层断裂，产生震动

对于地应力的产生，较为公认的板块构造学说认为，地球表面的岩石层不是一块整体，而由六大板块和若干小板块组成，这六大板块即欧亚板块、美洲板块、非洲板块、太平洋板块、澳洲板块和南极板块。由于地幔的对流，这些板块在地幔软流层上异常缓慢而又持久地相互运动着。由于它们的边界是相互制约的，因而板块之间处于张拉、挤压和剪切状态，从而产生了地应力。地球上的主要地震带就位于这些大板块的交界地区。

1.1.3 世界的地震活动

据统计，地球上平均每年发生震级为 8 级以上、震中烈度 11 度以上的毁灭性地震 2 次；震级为 7 级以上、震中烈度在 9 度以上的大地震不到 20 次；震级在 2.5 级以上的有感地震在 15 万次以上。

在宏观地震资料调查和地震台观测数据研究基础上，可以得到世界范围内的两主要地震带：一是环太平洋地震带，它沿南、北美洲西海岸、阿留申群岛，转向西南到日本列岛，再经我国台湾省，达菲律宾、新几内亚和新西兰；全球约

80% 浅源地震和90%的中、深源地震，以及几乎所有的深源地震都集中在这一地带。二是欧亚地震带，它西起大西洋的亚速岛，经意大利、土耳其、伊朗、印度北部、我国西部和西南地区，过缅甸至印度尼西亚与上述环太平洋带相衔接；除分布在环太平洋地震活动带的中、深源地震以外，几乎所有其他中、深源地震和一些大的浅源地震都发生在这一活动带。

此外，在大西洋、太平洋和印度洋中也有呈条形分布的地震带。

1.1.4 我国的地震活动

我国东临环太平洋地震带，南接欧亚地震带，地震分布相当广泛。我国主要地震带有两条：一是南北地震带，它北起贺兰山，向南经六盘山，穿越秦岭沿川西至云南省东北，纵贯南北。二是东西地震带，主要的东西构造带有两条，北面的一条沿陕西、山西、河北北部向东延伸，直至辽宁北部的千山一带；南面的一条，自帕米尔高原起经昆仑山、秦岭，直到大别山区。

据此，我国大致可划分成六个地震活动区：①台湾及其附近海域；②喜马拉雅山脉活动区；③南北地震带；④天山地震活动区；⑤华北地震活动区；⑥东南沿海地震活动区。

据统计，全国除个别省份（例如浙江、江西）外，绝大部分地区都发生过较强的破坏性地震，有不少地区现代地震活动还相当强烈，如我国台湾省大地震最多，新疆、西藏次之，西南、西北、华北和东南沿海地区也是破坏性地震较多的地区。

1.1.5 近期世界地震活动

近半个世纪以来，国内外发生的大地震见表1-1。

近期世界地震情况 表 1-1

时间	地点	震级	死亡 (备注)	时间	地点	震级	死亡 (备注)
1960. 5. 22	智利南部	8.5	1.2万人	1994. 6. 6	哥伦比亚		1000多人
1964. 3. 27	美国阿拉斯加	8.4	130万人	1995. 1. 17	日本神户	7.2	6500多人
1964. 6. 27	日本新潟	7.5		1995. 5. 28	俄罗斯远东地区	7.5	2000多人
1968. 5. 16	日本十胜冲	7.5		1997. 2. 28	伊朗西北部	6.1	1000多人
1970. 1. 5	中国通海	7.7	15621人	1997. 5. 10	伊朗东北部	7.1	1560多人
1970. 5. 31	秘鲁北部	7.6	66794人	1998. 2. 4	阿富汗塔哈尔省	6.1	4500人
1973. 2. 6	中国甘孜	7.9	2199人	1998. 5. 30	阿富汗塔哈尔省		约3000人
1975. 2. 4	中海海域	7.3	1300多人	1999. 1. 25	哥伦比亚	6.2	1200多人
1976. 2. 4	危地马拉	7.5	22778人	1999. 8. 17	土耳其西部	7.4	1.3万多人
1976. 7. 28	中国唐山	7.8	242769人	1999. 9. 21	中国台湾	7.6	2300多人
1980. 10. 10	阿尔及利亚	7.3	2500多人	1999. 9. 30	墨西哥	7.5	
1980. 11. 13	那不勒斯市	7.2	2735人	1999. 11. 12	土耳其博鲁省	7.2	约1000人

续表

时间	地点	震级	死亡 (备注)	时间	地点	震级	死亡 (备注)
1981. 6. 11	伊朗克尔曼省	6.8	3000 多人	2000. 6. 4	印度明古鲁省	7.9	
1981. 7. 28	伊朗克尔曼省	7.3	1500 多人	2000. 1. 13	萨尔瓦多	7.6	约 1000 人
1982. 12. 13	也门扎马尔省	6	3000 多人	2001. 1. 26	印度西部	7.9	2 万多人
1983. 10. 23	土耳其	6	1300 多人	2001. 6. 24	秘鲁	7.9	
1985. 9. 19	墨西哥城	8.1	6000 多人	2001. 10. 31	巴布亚新几内亚	7.0	
1986. 10. 10	萨尔瓦多	7.5	1500 多人	2001. 11. 14	中国新疆青海交界	8.1	
1987. 3. 5	厄瓜多尔	7	1000 多人	2002. 3. 3	阿富汗	7.1	
1988. 12. 7	亚美尼亚	6.9	2.5 万人	2002. 3. 6	菲律宾	7.1	
1990. 6. 21	伊朗里海地区	7.7	3.5 万人	2002. 6. 27	苏门答腊西南	7.4	
1990. 7. 16	菲律宾	7.7	3.5 万人	2002. 6. 29	中国吉林汪清	7.2	深源，无损坏
1991. 2. 1	巴基斯坦	6.8	1200 多人	2003. 2. 24	中国新疆巴楚—伽师	6.8	死亡 268 人
1991. 10. 20	印度	6.1	1600 多人	2003. 7. 21	中国云南楚雄大姚	7.2	死亡 16 人
1992. 12. 12	印度尼西亚	6.8	2200 多人	2003. 7. 26	日本东京官成	6.2	
1993. 9. 30	印度	6.4	2.2 万人	2003. 7. 26	土耳其代尼兹利	5.6	

这些大地震不但造成了大量的人员伤亡和巨大的经济损失，还给人类在精神上以重创，因此人类一直在探求防御和减轻地震灾害的有效途径。

§ 1.2 地震的基本术语

1.2.1 震源和震中

地层构造运动中，在地下岩层产生剧烈相对运动的部位大量释放能量，产生剧烈振动，此处就叫做震源，震源正上方的地面位置叫震中。震中附近的地面振动最剧烈，也是破坏最严重的地区，叫震中区或极震区。地面某处至震中的水平距离叫做震中距。
把地面上破坏程度相同或相近的点连成的曲线叫做等震线。震源至地面的垂直距离叫做震源深度，见图 1-2。按震源的深浅，地震又可分为：

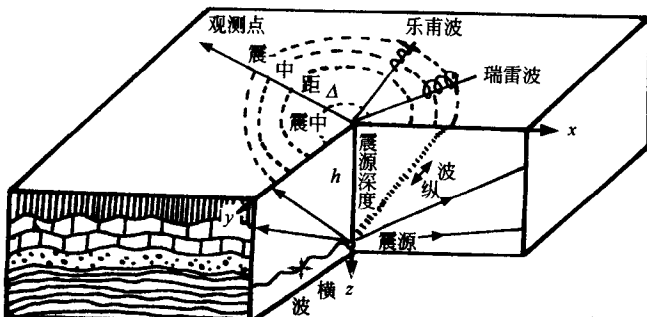


图 1-2 地震波传播示意图

①浅源地震，震源深度在 70km 以内；②中源地震，震源深度在 70~300km 范围；③深源地震，震源深度超过 300 km，浅源、中源和深源地震所释放能量分别约占所有地震释放能量的 85%、12% 和 3%。

1.2.2 地 震 波

地震引起的振动以波的形式从震源向各个方向传播并释放能量，这就是地震波。它包含在地球内部传播的体波和只限于在地面附近传播的面波。

体波又包括两种形式的波，即纵波与横波。

在纵波的传播过程中，其介质质点的振动方向与波的前进方向一致，故又称为压缩波或疏密波；纵波的特点是周期较短、振幅较小。在横波的传播过程中，其介质质点的振动方向与波的前进方向垂直，故又称为剪切波；横波的周期较长、振幅较大，见图 1-3。体波在地球内部的传播速度随深度的增加而增大。

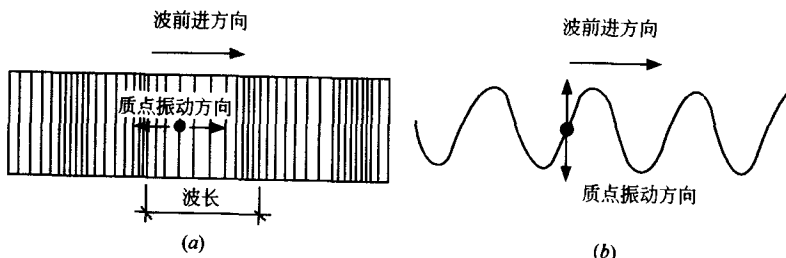


图 1-3 体波质点振动形式

(a) 压缩波；(b) 剪切波

由弹性理论计算的纵波与横波的传播速度可知，纵波比横波传播速度快。在仪器的观测记录纸上，纵波先于横波到达，故也可称纵波为“初波”（或称 P 波），称横波为“次波”（或称 S 波）。

面波是体波经地层界面多次反射形成的次生波，它包括两种形式的波，即瑞雷波（R 波）和洛夫波（L 波）。瑞雷波传播时，质点在波的传播方向和地面法线组成的平面内（xz 平面）做椭圆形运动，而在与该平面垂直的水平方向（y 方向）没有振动，质点在地面上呈滚动形式（图 1-4a）。洛夫波传播时，质点只是在与传播方向相垂直的水平方向（y 方向）运动，在地面上呈蛇形运动形式（图 1-4b）。

面波振幅大、周期长，只在地表附近传播，比体波衰减慢，故能传播到很远的地方。

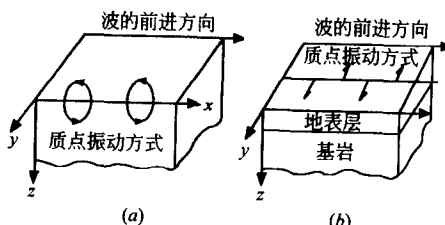


图 1-4 面波质点振动形式

(a) 瑞雷波质点振动；(b) 洛夫波质点振动

图 1-5 为某次地震所记录的地震波示意图。首先到达的是 P 波，继而 S 波，面波到达最晚。一般情况是，当横波或面波到达时，其振幅大，地面振动最猛烈，造成的危害也最大。

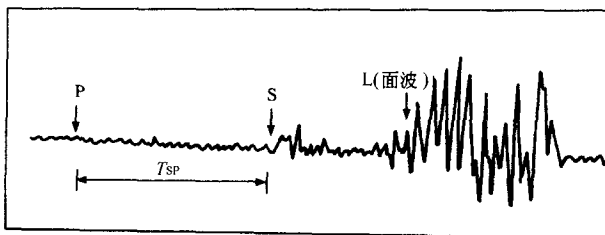


图 1-5 地震波记录图

1.2.3 震 级

震级是表示地震本身大小的尺度，是按一次地震本身强弱程度而定的等级。目前，国际上比较通用的是里氏震级，其原始定义是在 1935 年由 C. F. Richter 给出，即地震震级 M 为：

$$M = \log A \quad (1-4)$$

式中， A 是标准地震仪（指摆的自振周期 0.8s，阻尼系数 0.8，放大倍数 2800 倍的地震仪）在距震中 100km 处记录的以微米 ($\mu\text{m} = 10^{-6}\text{ m}$) 为单位的最大水平地动位移（即振幅）。例如，在距震中 100 km 处地震仪记录的振幅是 100mm，即 $100000\mu\text{m}$ ，则 $M = \log 100000 = 5$ 。

震级表示一次地震释放能量的多少，所以一次地震只有一个震级。震级每差一级，地震释放的能量将差 32 倍。

一般认为，小于 2 级的地震，人们感觉不到，只有仪器才能记录下来，称为微震；2~4 级地震，人可以感觉到，称为有感地震；5 级以上地震能引起不同程度的破坏，称为破坏性地震；7 级以上的地震，则称为强烈地震或大震；8 级以上的地震，称为特大地震。20 世纪以来，由仪器记录到的最大震级是 8.9 级，共有两次，一次是 1906 年 1 月 31 日哥伦比亚与厄瓜多尔西海地震，另一次是 1933 年 3 月 2 日日本三陆近海地震。

1.2.4 地 震 烈 度

地震烈度表示地震时一定地点地面振动强弱程度的尺度。对于一次地震，表示地震大小的震级只有一个，但它对不同地点的影响是不一样的。一般说，随距离震中的远近不同，烈度就有差异，距震中愈远，地震影响愈小，烈度就愈低；反之，距震中愈近，烈度就愈高。此外，地震烈度还与地震大小、震源深度、地

震传播介质、表土性质、建筑物动力特性等许多因素有关。

为评定地震烈度，就需要建立一个标准，这个标准就称为地震烈度表。它是以描述震害宏观现象为主的，即根据建筑物的损坏程度、地貌变化特征、地震时人的感觉、家具动作反应等方面进行区分。由于对烈度影响轻重的分段不同，以及在宏观现象和定量指标确定方面有差异，加之各国建筑情况及地表条件的不同，各国所制定的烈度表也就不同。现在，除了日本采用从0到7度分成8等的烈度表，少数国家（如欧洲一些国家）用10度划分的地震烈度表外，绝大多数国家包括我国都采用分成12度的地震烈度表。

一般来说，震中烈度是地震大小和震源深度两者的函数。对于大量的震源深度在10~30km的地震，其震中烈度 I_0 与震级 M 的对应关系见表1-2。

震中烈度与震级的大致对应关系

表1-2

震级 M	2	3	4	5	6	7	8	>8
震中烈度 I_0	1~2	3	4~5	6~7	7~8	9~10	11	12

§ 1.3 地震动特性

地震动是非常复杂的，具有很强的随机性，甚至同一地点，每一次地震都各不相同。但多年来地震工程研究者们根据地面运动的宏观现象和强震观测资料的分析得出，地震动的主要特性可以通过三个基本要素来描述，即地震动的幅值、频谱和持时（即持续时间）。

1.3.1 地震动幅值特性

地震动幅值可以是地面运动的加速度、速度或位移的某种最大值或某种意义上的有效值。目前采用最多的地震动幅值是地面运动最大加速度幅值，它可描述地面震动的强弱程度，且与震害有着密切关系，可作为地震烈度的参考物理指标。例如，1940年EL-Centro地震加速度记录的最大值为 341.7cm/s^2 。

地震动幅值的大小受震级、震源机制、传播途径、震中距、局部场地条件等因素的影响。一般说来，在近场内，基岩上的加速度峰值大于软弱场地上的加速度峰值，而在远场相反。

1.3.2 地震动频谱特性

所谓地震动频谱特性是指地震动对具有不同自振周期的结构的反应特性，通常可以用反应谱、功率谱和傅里叶谱来表示。反应谱是工程中最常用的形式，现

已成为工程结构抗震设计的基础。功率谱和傅立叶谱在数学上具有更明确的意义，工程上也具有一定的实用价值，常用来分析地震动的频谱特性。

震级、震中距和场地条件对地震动的频谱特性有重要影响，震级越大、震中距越远，地震动记录的长周期分量越显著。硬土地基上的地震动记录包含较丰富的频率成分，而软土且土层厚地基上的地震动记录卓越周期长周期成分显著。另外，震源机制也对地震动的频谱特性有着重要影响。

1.3.3 地震动持时特性

地震动持时对结构的破坏程度有着较大的影响。在相同的地面运动最大加速度作用下，当强震的持续时间长，则该地点的地震烈度高，结构物的地震破坏重；反之，当强震的持续时间短，则该地点的地震烈度低，结构物的破坏轻。例如，EL-Centro 地震的强震持续时间为 30s，该地点的地震烈度为 8 度，结构物破坏较严重；而 1966 年的日本松代地震，其地面运动最大加速度略高于 EL-Centro 地震，但其强震持续时间仅为 4s，则该地的地震烈度仅为 5 度，未发现明显的结构物破坏。

实际上，地震动强震持时对地震反应的影响主要表现在非线性反应阶段。从结构地震破坏的机理上分析，结构从局部破坏（非线性开始）到完全倒塌一般需要一个过程，往往要经历一段时间的往复振动过程。塑性变形的不可恢复性需要耗散能量，因此在这一振动过程中即使结构最大变形反应没有达到静力试验条件下的最大变形，结构也可能因贮存能量能力的耗损达到某一限值而发生倒塌破坏。持时的重要意义同时存在于非线性体系的最大反应和能量耗散累积两种反应之中。

§ 1.4 工程结构的抗震设防

1.4.1 基本术语

抗震设防烈度：按国家规定的权限作为一个地区抗震设防依据的地震烈度。

抗震设防标准：衡量抗震设防要求的尺度，由抗震设防烈度和建筑使用功能的重要性确定。

地震作用：由地震引起的结构动态作用（指地面运动发生时在上部结构质点处产生的惯性力），包括水平地震作用和竖向地震作用。

设计地震动参数：抗震设计用的加速度（速度、位移）时程曲线、加速度反应谱和峰值加速度。

设计基本地震加速度：50年设计基准期超越概率10%的地震加速度的设计取值。

设计特征周期：抗震设计用的地震影响系数曲线中，反映地震震级、震中距和场地类别等因素的下降段起始点对应的周期值。

场地：工程群体所在地，具有相似的反应谱特征。其范围相当于厂区、居民小区和自然村或不小于 1.0km^2 的平面面积。

抗震措施：除地震作用计算和抗力计算以外的抗震设计内容，包括抗震构造措施。

抗震构造措施：根据抗震概念设计原则，一般不需计算而对结构和非结构各部分必须采取的各种细部要求。

1.4.2 地震影响和抗震设防烈度

抗震设防烈度是一个地区作为抗震设防依据的地震烈度；一般情况下，可采用中国地震动区划图的地震基本烈度（或与《建筑抗震设计规范》（GB 50011—2001）（以下简称《抗震规范》）设计基本地震加速度值对应的烈度值）。对已编制抗震设分区划的城市，可按批准的抗震设防烈度和设计地震动参数进行抗震设防。抗震设防烈度与设计基本地震加速度取值的对应关系应符合表1-3的规定。《抗震规范》规定，抗震设防烈度为6度及以上地区的建筑，必须进行抗震设计。

抗震设防烈度和设计基本地震加速度值的对应关系 表1-3

抗震设防烈度	6度	7度	8度	9度
设计基本加速度值	$0.05g$	$0.10(0.15)g$	$0.20(0.30)g$	$0.40g$

注： g 为重力加速度。

建筑所在地区遭受的地震影响，应采取相应于抗震设防烈度的设计基本地震加速度和设计特征周期或规定的地震动参数来表征。建筑的设计特征周期应根据其所在地的设计地震分组和场地类别确定。

震害调查表明，虽然不同地区的宏观地震烈度相同，但处在大震级远震中距的柔性建筑物，其震害要比小震级近震中距的情况重得多。《抗震规范》用设计地震分组来体现震级和震中距的影响，建筑工程的设计地震分为三组。在相同的抗震设防烈度和设计基本地震加速度值的地区可有三个设计地震分组，第一组表示近震中距，而第二、三组表示较远震中距的影响。

我国主要城镇（县级及县级以上城镇）中心地区的抗震设防烈度、设计基本地震加速度值和所属的设计地震分组可参见《抗震规范》。